

Асимптотические аппроксимации энергии дисперсионного взаимодействия между атомами рубидия в ридберговских состояниях

С.Н. Мохненко¹ А.А. Каменский¹ В.Д. Овсянников¹

¹Воронежский государственный университет

Физика ультрахолодных атомов 2016

Сдвиг энергии

Сдвиг энергии, индуцированный взаимодействием Ван-дер-Ваальса, для ридберговских состояний дается:

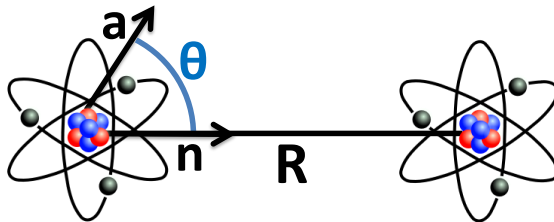
$$\Delta E_{vdW}(nlJM; R, \theta) = -\frac{C_6(nlJM; \theta)}{R^6}$$

где:

$C_6(nlJM; \theta)$ - постоянная Ван-дер-Ваальса

R - расстояние между атомами

θ - угол между осью квантования и межатомной осью



Общее выражение для С6

С6 для взаимодействия между двумя тождественными атомами, в одних и тех же ридберговских состояниях можно представить как функцию от магнитных квантовых чисел M этих ридберговских состояний и угла $\theta = \cos^{-1}(\mathbf{n} \cdot \mathbf{a})$ между единичными векторами межатомной оси \mathbf{n} и осью квантования \mathbf{a} :

$$\begin{aligned} C_6(\theta) &= C_6^{(2)}(\theta) = R_{ss} - \frac{M^2}{12J^2}(3\cos^2\theta - 2)R_{aa} + \\ &+ \frac{3M^2 - J(J+1)}{2J(2J-1)}(3\cos^2\theta - 1)R_{sT} + \\ &+ \frac{3}{2} \left[\frac{3M^2 - J(J+1)}{2J(2J-1)} \right]^2 (9\cos^4\theta - 8\cos^2\theta + 1)R_{TT} \end{aligned}$$



Овсянников В.Д. 1982 *Оптика и спектроскопия*
Том 53, Вып. 4 600

Теория возмущений для близких состояний $|\Delta E_{vdW}| \geq \delta$

Атомы в nS -состояниях

$$C_6 = 6 \sum_{n_1, n_2} \frac{|\langle n_1 P | d_z | nS \rangle|^2 |\langle n_2 P | d_z | nS \rangle|^2}{E_{n_1 P} + E_{n_2 P} - 2E_{nS}}$$

Условие для перехода к ТВ для близких состояний

$$|\Delta E_{vdW}| \geq \delta$$

где:

$\delta = |E_1 - E_2|$ - расщепление энергий двух-атомных состояний

$E_1 = E_A + E_B$ - энергия начального двух-атомного состояния

$E_2 = E_{n_1} + E_{n_2}$ - энергия промежуточного двух-атомного состояния

Теория возмущений для близких состояний $|\Delta E_{vdW}| \geq \delta$

Подпространство близких (по двух-атомной энергии) состояний

Включает по крайней мере три различных двух-атомных состояния:

- ① Два атома в одинаковых состояниях: $\langle \mathbf{r}_1 | nIJ \rangle = \langle \mathbf{r}_2 | nIJ \rangle$
Например: $38P + 38P$. Двух-атомная энергия: E_1
- ② Первый атом в: $\langle \mathbf{r}_1 | n_1 l_1 J_1 \rangle$, второй в: $\langle \mathbf{r}_2 | n_2 l_2 J_2 \rangle$
Например: $38S + 39S$. Двух-атомная энергия: E_2
- ③ Первый атом в: $\langle \mathbf{r}_1 | n_2 l_2 J_2 \rangle$, второй в: $\langle \mathbf{r}_2 | n_1 l_1 J_1 \rangle$
Например: $39S + 38S$. Двух-атомная энергия: E_3

Очевидно что: $E_2 = E_3$

Это дает симметрии для матричных элементов:

$$W_{12} = W_{13}; \quad W_{22} = W_{33}$$

Теория возмущений для близких состояний $|\Delta E_{vdW}| \geq \delta$

Матричные элементы

$$W_{ij} = \left\langle i \left| \hat{V}_{AB}(\mathbf{R}) \left\{ 1 + G'_{\bar{E}} [\hat{V}_{AB}(\mathbf{R}) - \Delta E] \right\}^{-1} \right| j \right\rangle,$$

где:

$G'_{\bar{E}}$ - двух-атомная функция Грина

$\Delta E = E - \bar{E}$ - сдвиг индуцированный взаимодействием

$\hat{V}_{AB}(\mathbf{R}) = \sum_{L_1=1}^{\infty} \sum_{L_2=1}^{\infty} \frac{\hat{\vartheta}_{L_1, L_2}(\mathbf{n})}{R^{L_1+L_2+1}}$ - оператор

электростатического взаимодействия между атомами

$\hat{\vartheta}_{L_1, L_2}$ - тензорное произведение мультипольных моментов атомов свернутое с угловой зависимостью их взаимодействия

Матричные элементы формально включают в себя все порядки теории возмущений:

$$W_{ij} = \sum_{k=1}^{\infty} W_{ij}^{(k)}$$

Теория возмущений для близких состояний $|\Delta E_{vdW}| \geq \delta$

Первый порядок

$$W_{ij}^{(1)} = \left\langle i \left| \hat{V}_{AB}(\mathbf{R}) \right| j \right\rangle = \sum_{q=q_1}^{L_\Sigma+1} \frac{w_{ij}^{(1)}(q, n)}{R^q}$$

где: $L_\Sigma = l_A(i) + l_A(j) + l_B(i) + l_B(j)$ - сумма по всем угловым моментам обоих атомов в их начальном $|i\rangle$ и конечном $|j\rangle$ состояниях. Для дипольных переходов суммирование в недиагональном матричном элементе начинается с $q_1 = 3$.

Второй порядок

$$W_{ij}^{(2)} = - \left\langle i \left| \hat{V}_{AB}(\mathbf{R}) G'_E \hat{V}_{AB}(\mathbf{R}) \right| j \right\rangle = \sum_{q=q_2}^{\infty} \frac{w_{ij}^{(2)}(q, n)}{R^q}$$

где суммирование для диагональных элементов W_{ii} выполняется по четным степеням $1/R$, начиная с $q_2 = 6$.



Теория возмущений для близких состояний $|\Delta E_{vdW}| \geq \delta$

Секулярное уравнение

$$\det || W_{ij} + (\varepsilon_i - \Delta E) \delta_{ij} || = 0$$

где: $i, j = 1, 2, 3$ $\Delta E = E - E_{2,3}$ - относительная энергия

$\varepsilon_1 = \delta$; $\varepsilon_2 = \varepsilon_3 = 0$ - энергия i-того уровня относительно средней энергии

Решения секулярного уравнения

$$\Delta E_{1,2} \equiv E_{\pm} = \frac{\delta + W_{11} + W_{22} + W_{23}}{2} \pm$$

$$\pm \frac{1}{2} \sqrt{(\Delta(\mathbf{R}))^2 + 8|W_{12}|^2},$$

$$\Delta E_3 = W_{22} - W_{23}$$

где: $\Delta(\mathbf{R}) = \delta + W_{11} - W_{22} - W_{23}$

Теория возмущений для близких состояний $|\Delta E_{vdW}| \geq \delta$

Предел: $|\Delta(\mathbf{R})| \gg |W_{12}|$ (большие расстояния)

$$\Delta E_1 = \delta + W_{11} + \frac{2|W_{12}|^2}{\Delta(\mathbf{R})}, \quad \left(\lim_{R \rightarrow \infty} \Delta E_1 \rightarrow \varepsilon_1 = \delta \right)$$

$$\Delta E_2 = W_{22} + W_{23} - \frac{2|W_{12}|^2}{\Delta(\mathbf{R})}, \quad \left(\lim_{R \rightarrow \infty} \Delta E_2 \rightarrow \varepsilon_2 = 0 \right)$$

Предел: $|\Delta(\mathbf{R})| \ll |W_{12}|$ (резонанс Ферстера)

$$\Delta E_{\pm} \approx \pm \sqrt{2}|W_{12}| \pm \frac{(\Delta(\mathbf{R}))^2}{8\sqrt{2}|W_{12}|} + \frac{\delta + W_{11} + W_{22} + W_{23}}{2}$$

Потенциал Фьюса

$$V_f(r) = -\frac{Z_i}{r} + \sum_I \frac{B_I(E)}{r^2} \hat{P}_I$$

где:

Z_i - заряд остова

\hat{P}_I - оператор проектирования на подпространство состояний с орбитальным моментом I

$B_I(E)$ - константа, изменяющая центробежный потенциал так, чтобы собственные значения $E_{nl} = -Z_i^2/2\nu_{nl}^2$ радиального уравнения Шредингера, определяемые эффективным главным квантовым числом: $\nu_{nl} = 1 + n_r + \lambda_{nl}$

($\lambda_{nl} = \sqrt{(l+1/2)^2 + 2B_I(E_{nl})} - 1/2$) - эффективный орбитальный момент, $n_r = 0, 1, 2, \dots$ - радиальное квантовое число) в точности совпадали с энергиями реального атома.



SIMONS G. J. 1971 *Chem. Phys.*, **55**, 756

Интерполяция состояний

Формула Ритца для квантового дефекта $\mu_{IJ} = n - \nu_{nIJ}$

$$\mu_{IJ}(n) = \mu_{IJ}^{(0)} + \frac{\mu_{IJ}^{(2)}}{\left(n - \mu_{IJ}^{(0)}\right)^2}$$

S- и D - состояния

 MACK M, KARLEWSKI F, HATTERMANN H ET AL 2011,
Phys. Rev. A **83** 052515.

P - состояния

 WENHUI LI, I. MOURACHKO, M. W. NOEL, AND T. F.
GALLAGHER 2003, *Phys. Rev. A* **67** 052502.

F - состояния

 J HAN, Y JAMIL, D V L NORUM, P J TANNER, AND T F
GALLAGHER 2006, *Phys. Rev. A*, **74** 054502.

Интерполяция результатов

В отсутствие резонансов

$$R_{ss}(nIJ) = A_{ss}(IJ)n^{11} \left(1 + \frac{a_{ss}^{(1)}(IJ)}{n} + \frac{a_{ss}^{(2)}(IJ)}{n^2} + \frac{a_{ss}^{(3)}(IJ)}{n^3} \right)$$

При наличии двух резонансов

$$R_{ss}(nIJ) = \frac{A_{ss}(IJ)}{(n - \tilde{n}_{IJ}^{(1)})(n - \tilde{n}_{IJ}^{(2)})} n^{13} \left(1 + \frac{a_{ss}^{(1)}(IJ)}{n} + \frac{a_{ss}^{(2)}(IJ)}{n^2} + \frac{a_{ss}^{(3)}(IJ)}{n^3} \right)$$

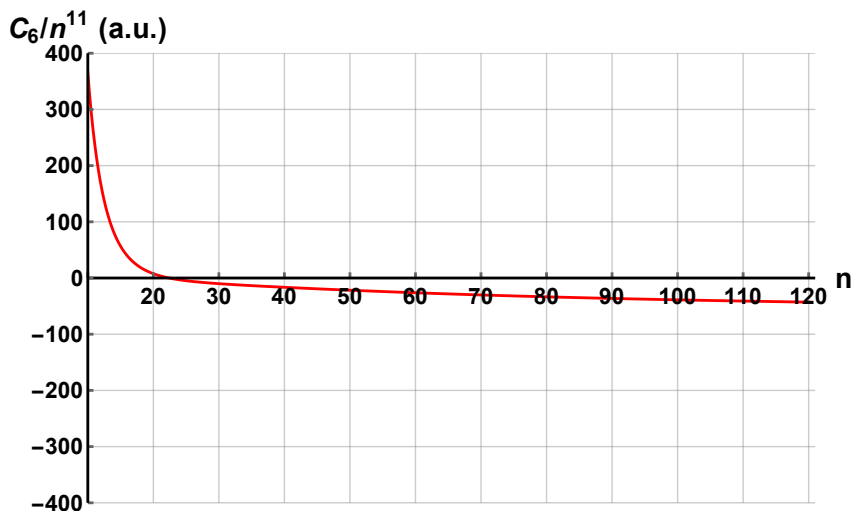
График С6 для $nS_{1/2} M=|1/2\rangle + nS_{1/2} M=|-1/2\rangle (\theta = 0)$ 

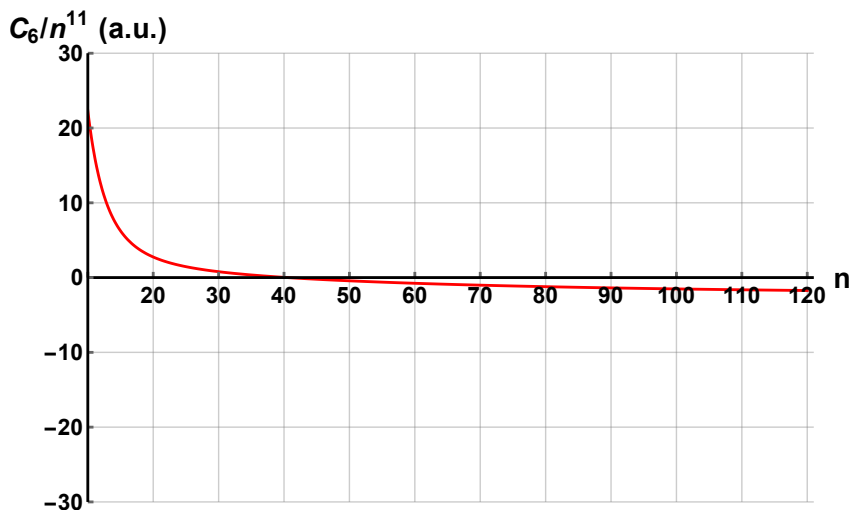
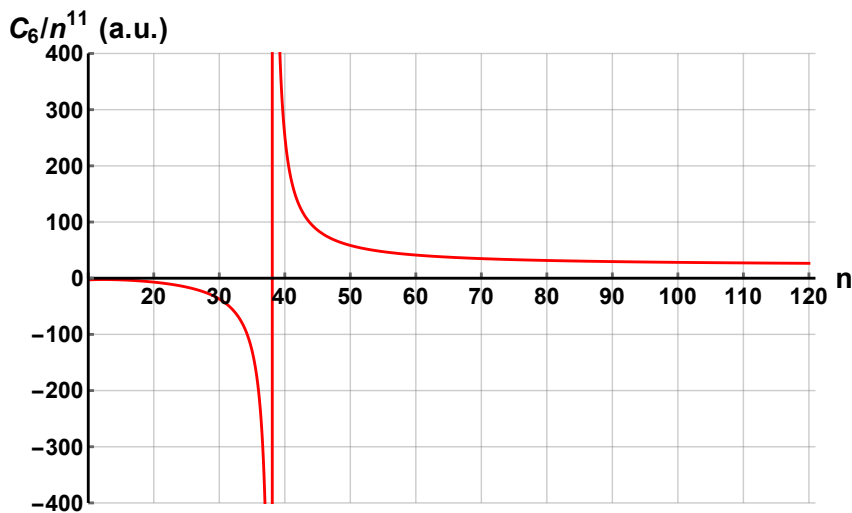
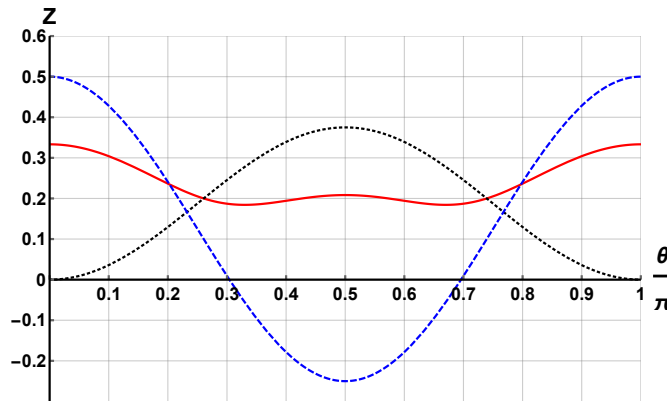
График С6 для $nP_{1/2} M=|1/2\rangle + nP_{1/2} M=|-1/2\rangle (\theta = 0)$ 

График С6 для $nP_{3/2} M=|1/2\rangle + nP_{3/2} M=|-1/2\rangle (\theta = 0)$ 

Угловая зависимость резонанса

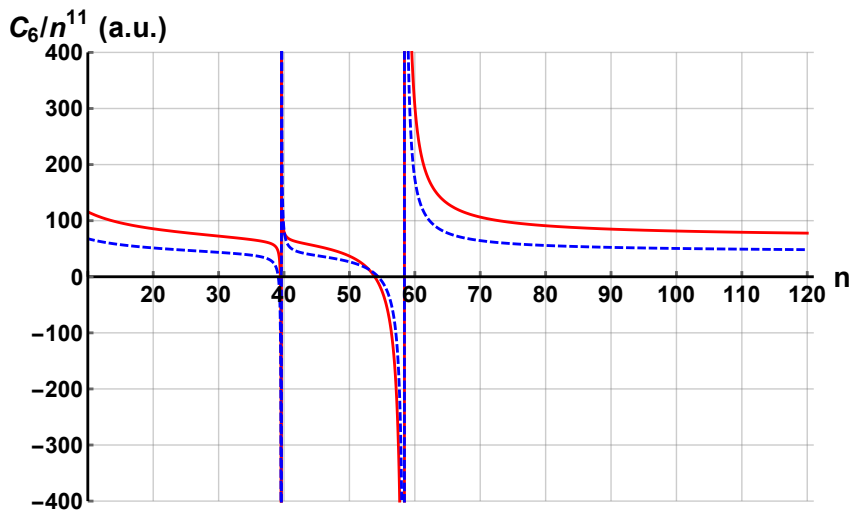


Красная сплошная: $|M| = 1/2$

Черная точечная: $|M| = 3/2$

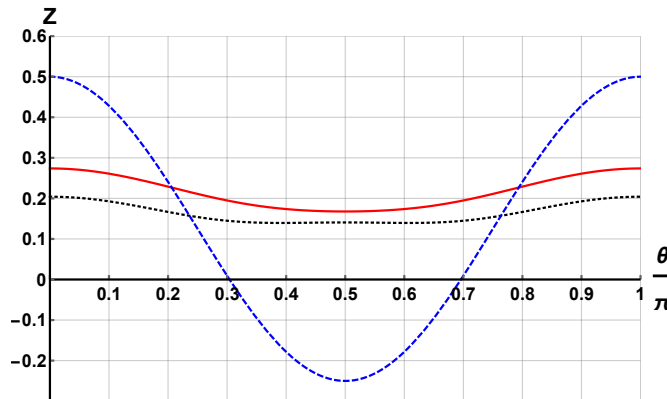
Синяя пунктирная: полином Лежандра второго порядка

$$P_2(\cos\theta)/2 = (3\cos^2\theta - 1)/2$$

График С6 для $nD_{3/2} M + nD_{3/2} M$ ($\theta = 0$)

Красная сплошная: $|M| = 1/2$
Синяя пунктирная: $|M| = 3/2$

Угловая зависимость резонанса



Красная сплошная: $|M| = 1/2$

Черная точечная: $|M| = 3/2$

Синяя пунктирная: полином Лежандра второго порядка

$$P_2(\cos\theta)/2 = (3\cos^2\theta - 1)/2$$

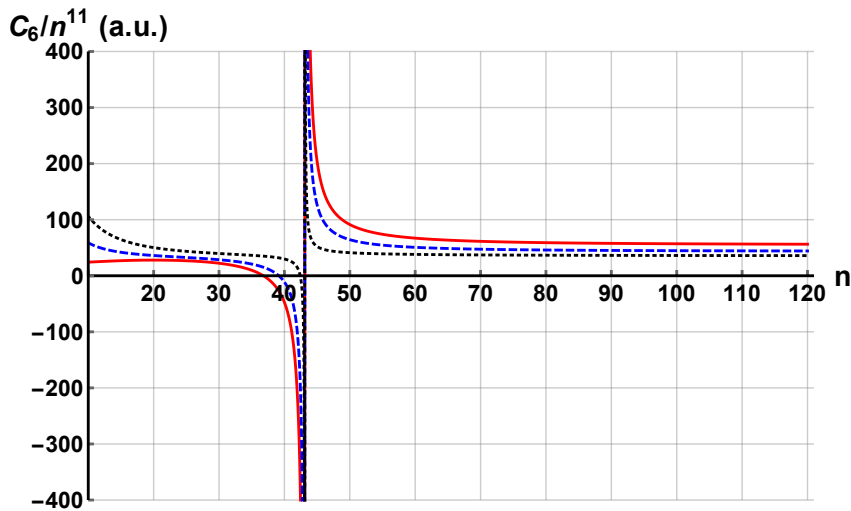
График С6 для $nD_{5/2} M + nD_{5/2} M$ ($\theta = 0$)Красная сплошная: $|M| = 1/2$ Синяя пунктирная: $|M| = 3/2$ Черная точечная: $|M| = 5/2$

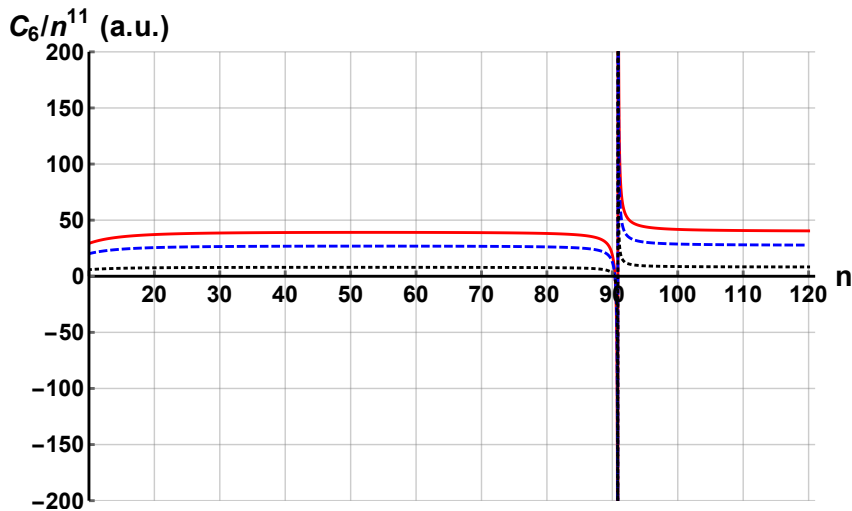
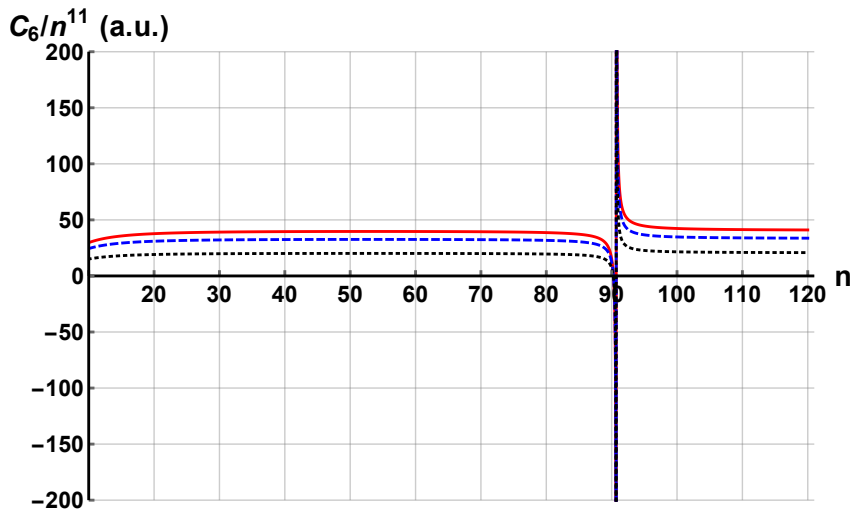
График С6 для $nF_{5/2} M + nF_{5/2} M$ ($\theta = 0$)Красная сплошная: $|M| = 1/2$ Синяя пунктирная: $|M| = 3/2$ Черная точечная: $|M| = 5/2$

График С6 для $nF_{7/2} M + nF_{7/2} M$ ($\theta = 0$)

Сведения из литературы

Исходные состояния: $nD_{J=3/2 \mid M|=3/2} - nD_{J=3/2 \mid M|=-3/2}$

Угол $\theta = 0$

Все величины даны в $GHz \cdot \mu m^6$, где:

1 а.и. = $1.4448 \times 10^{-19} GHz \cdot \mu m^6$

n	Теория [1]	Теория [2]	Наш результат	Эксперимент [1]
53	16.9 ± 1.7	16.6	15.5927	13.7 ± 1.2
62	766 ± 15	766	770.715	730 ± 20
82	8870 ± 150	8864	8872.19	8500 ± 300

 [1] L. BEGUIN ET AL., *Physical Review Letters*, 110:263201, 2013.

 [2] CHRISTOPHE L. VAILLANT, *Long-Range Interactions in One- and Two-Electron Rydberg Atoms*, Durham theses, Durham University, 2014.

Обсуждение

Вопросы ?